

## H-53

Триод H-53 предназначен для применения во входных малошумящих усилителях высокой частоты по «нейтродной» схеме.

**Конструкция** Триод выполнен на базе металлокерамической конструкции лами серии «Н».

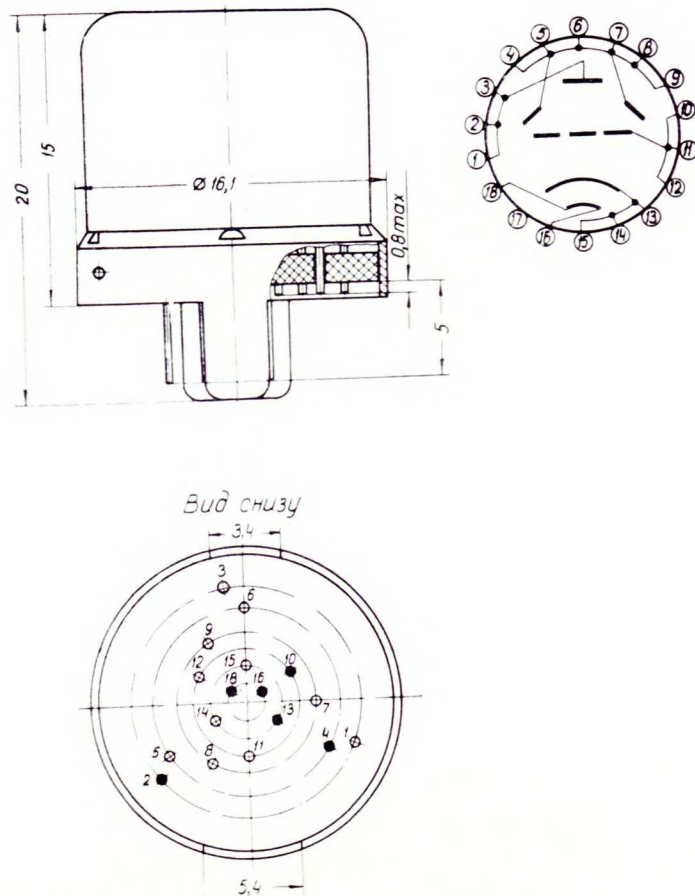


Рис. 10. Габаритные размеры и схема соединения электродов с выводами лампы H-53  
2—анод; 4—экран; 10—сетка; 13—катод; 16, 18—подогреватель; 17—пропущен. Остальные выводы обрезаны

Лампа Н-53 может широко применяться в разнообразной радиоэлектронной аппаратуре, где требуются малая проходная емкость, большая крутизна, малые шумы, экономичность, хорошая взаимозаменяемость, ударо- и вибропрочность, малый вес и габариты.

Весьма низкая проходная емкость и большая крутизна характеристики открывают большие перспективы применения этих ламп в «нейтродных» схемах усилителей высокой частоты метрового диапазона.

За рубежом лампы с аналогичными электрическими парами метрами (PC-900, 6GK5 и др. получили широкое распространение во входных усилителях высокой частоты телевизоров переключатели телевизионных каналов

#### ЭЛЕКТРИЧЕСКИЕ ПАРАМЕТРЫ

Напряжение, в					
накала	6,3				
на аноде	150				
на сетке	—0,5				
Ток, ма					
накала	140				
анода	$\geq 6$				
Статический коэффициент усиления	80				
Крутизна характеристики, ма/в	14				
Эквивалентное сопротивление внутрьламповых шумов, ом	$\ll 200$				
Межэлектродные емкости, пФ					
входная	5				
выходная	3				
проходная	$\ll 0,35$				

Сравнительные параметры ламп Н-53 и 6С52Н в номинальных режимах

Тип лампы	Параметры					
	$R_{BX}$ (f=100 Мгц), кОм	$R_{шт}$ , ом	$\frac{R_{BX}}{R_{шт}}$ (f=100 Мгц)	$S$ , ма/в	$C_{BX}$ , пФ	$C_{пр}$ , пФ
6С52Н	2,2	300	7	10	4,2	0,85
Н-53	1,5	200	7	14	5	$\ll 0,35$

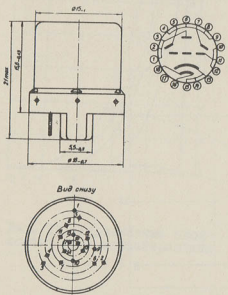
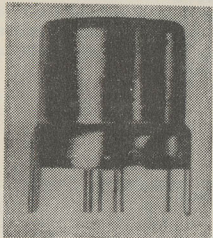


Рис.26. Габаритные размеры и схема соединения электродов с выводами

I - анод; 4 - экран; 10 - сетка; I4 - катод; 16, 17 - подогреватель; остальные выводы обрезаны

Триод H-53 предназначен для применения во входных каскадах малошумящих усилителей высокой частоты метрового диапазона по нейтродной схеме.

Оформление - металлокерамическое, сверхминиатюрное. Выпускается с жесткими штырьками или приваренными гибкими выводами.

### Общие данные

Катод - оксидный,  
косвенного накала

Высота наиболь-  
шая, мм

21

Диаметр наиболь-  
ший, мм

16

Число выводов, шт

7

Длина штырьков, мм

6

Длина гибких выво-  
дов, мм

> 30

Диаметр выводов, мм

0,4

Вес наибольший, г

< 5

# Электрические данные

Напряжение накала ( $\sim$ или =), в	6,3
Ток накала, мА	$135^{+15}_{-25}$
Напряжение анода (=), в	150
Сопротивление в цепи катода, ом	39
Ток анода, мА	$8,5^{+4,5}_{-2}$
Обратный ток сетки, мкА*	$\leq 0,1$
Ток утечки между катодом и подогревателем, мкА	$\leq 50$
Крутизна характеристики, мА/в	$15^{+3,5}_{-3}$
Коэффициент усиления	$120 \pm 30$
Входное сопротивление на $f = 60$ МГц, ком	$\geq 3,5$
Эквивалентное сопротивление внутриламповых шумов, ком	$\leq 0,2 \pm 0,15$
Долговечность, час	1000
Критерий долговечности:	
изменение крутизны характеристики от первоначального значения, %	$\leq \pm 35$

## Междузлентродные ёмкости

Входная, пФ	$5,8 \pm 1,2$
Выходная, пФ	$3,5 \pm 1,7$
Проходная, пФ	$\leq 0,5$

## Предельно допустимые эксплуатационные данные

Наибольшее напряжение накала ( $\sim$ или =), в	7
---	---

\*  $U_N = 6,3$  в.,  $U_C = -1,5$  в.,  $U_A = 150$  в.,  $R_C = 0,5$  Мом.

Наименьшее напряжение накала ( $\sim$  или  $=$ ), в  
Наибольшее напряжение анода ( $=$ ), в  
Наибольшее напряжение анода при запертой  
лампе ( $=$ ), в

Наибольшее напряжение между катодом и подогревателем ( $=$ ), в

Наибольшая мощность, рассеиваемая анодом, вт  
Наибольший ток катода, ма

Наибольшая температура баллона,  $^{\circ}$ С

Время готовности, сек

#### Устойчивость против внешних воздействий

Наибольшая температура окружающей среды,  $^{\circ}$ С  
Наименьшая температура окружающей среды,  $^{\circ}$ С  
Наибольшее давление окружающей среды, атм  
Наименьшее давление окружающей среды, мм рт.ст.  
Наибольшая относительная влажность при температуре окружающей среды  $40^{\circ}$ С, %  
Линейные нагрузки, г

#### Вибропрочность

Время испытания на вибропрочность, час  
Диапазон частот вибрации при испытании, Гц  
Ускорение при испытании,  $g$

#### Одиночные удары

Число ударов  
Ускорение,  $g$

5,7

200

300

$\pm 100$

2,2

15

+250

$\leq 25$

+200

-60

3

5

98

150

96

$5 \pm 2500$

15

10

1000

3

Многократные удары

Число ударов

Ускорение,  $g$

Данные предварительные ТФЗ 300 088 ТУ

2,2

15

$\leq 25$

I. УВЧ с мостовой нейтрализацией проходной ёмкости:  
а) частота самонейтрализации лампы составляет 500 Мгц.  
Реактивная составляющая проходной проводимости имеет чисто ёмкостной характер до 250 Мгц (рис.29);

б) схема нейтродного усилителя (рис.30, табл.2)

Таблица 2

#### Основные характеристики нейтродного усилителя

	Частота, Мгц	Полоса пропускания на уровне 3 дБ, Мгц	Коэффициент усиления по напряжению, дБ	Коэффициент шума, до	ИСВН
	75	?	32	1,75	1,4
	225	?	28	5,3	2

2. Схема широкополосного антенного усилителя (рис.31).

#### Основные характеристики антенного усилителя

Диапазон частот, Мгц

175-205 (6-9 каналы  
телевид.)

Полоса пропускания (на уровне  
3 дБ), Мгц

32

КСВН в пределах полосы пропускания  
 Коэффициент усиления, дБ  
 Коэффициент шума, дБ  
 Потребляемая мощность ( $U_G = 150$  в), вт

I, 3-I, 65  
 22  
 4,7  
 4,8

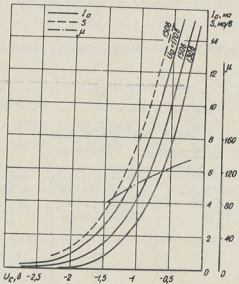


Рис.27. Анодно-сеточные характеристики  
 $U_H = 6,3$  в

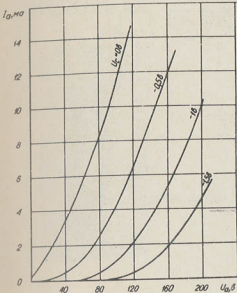


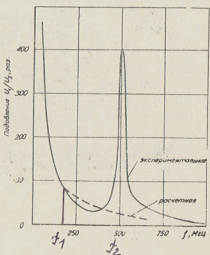
Рис.28. Анодные характеристики  
 $U_H = 6,3$  в

Рис.29. Зависимость обратного затухания, обусловленного проходной ёмкостью лампы Н-53 от частоты

$f_1$  - предельная частота широкодиапазонной нейтрализации;

$f_2$  - частота самонейтрализации.

Параметры  $f_1$  и  $f_2$  позволяют оценить частотные возможности нейтродного каскада УВЧ на лампе Н-53



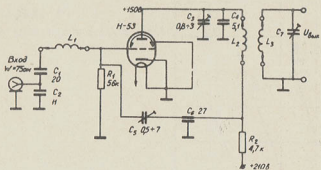


Рис.30. Принципиальная схема нейтродного усилителя

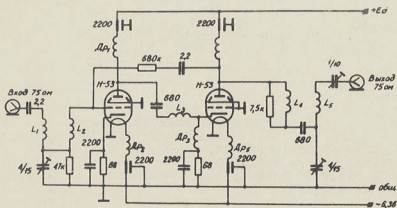


Рис.31. Принципиальная схема широкополосного антенного усилителя на лампах Н-53